

# วงจรถ้อพเปอร์มอดูเลเตอร์โดยใช้วงจรสายพานกระแสแบบ แรงดันอินพุตแตกต่างเป็นวงจรถ้อพื้นฐาน

## Differential Voltage Current Conveyor-Based Chopper Modulator Circuit

มนตรี คำเงิน ธีติมา ตรีพักษณ์ กอบชัย เดชหาญ

ภาควิชาวิศวกรรมโทรคมนาคม คณะวิศวกรรมศาสตร์ สถาบันเทคโนโลยีพระจอมเกล้าเจ้าคุณทหารลาดกระบัง

บทความนี้นำเสนอวงจรถ้อพเปอร์มอดูเลเตอร์ที่สามารถกำหนดรูปแบบการมอดูเลตได้สามแบบในวงจรถ้อเดียวคือ ใควานมอดูเลเตอร์ ริ่งมอดูเลเตอร์และแอมพลิจูดมอดูเลเตอร์ วงจรถ้อที่นำเสนอสร้างจากวงจรสายพานกระแสชนิดแรงดันอินพุตแตกต่างหนึ่งวงจรถ้อ สวิตช์แบบมอสส์ตัวและวงจรถ้ออินเวอร์เตอร์ที่สร้างจากมอสสองตัวหนึ่งวงจรถ้อ วงจรถ้อที่นำเสนอมีข้อดีดังนี้มีเอาท์พุทอิมพีแดนซ์ต่ำดังนั้นจึงสามารถต่อกับโหลดค่าต่างๆ ได้โดยไม่ต้องการวงจรถ้อบัฟเฟอร์ใดๆ ใช้มอสทรานซิสเตอร์จำนวนน้อยซึ่งเหมาะกับการนำไปสร้างเป็นวงจรถ้อรวม ควบคุมการสวิตช์ของอุปกรณ์ด้วยสัญญาณรูปคลื่นสี่เหลี่ยมที่ได้จากวงจรถ้อกำเนิดสัญญาณโดยตรง ผลการจำลองการทำงานด้วยโปรแกรม PSPICE สามารถยืนยันการทำงานของวงจรถ้อที่นำเสนอ

**คำสำคัญ:** ช้อพเปอร์มอดูเลเตอร์, ใควานมอดูเลเตอร์, ริ่งมอดูเลเตอร์, แอมพลิจูดมอดูเลเตอร์, DVCC

### Abstract

This paper presents a chopper modulators which can able assign three modulators in one circuit. It consists of Cowan, Ring and amplitude modulators. The proposed circuit is implemented from the different voltage current conveyor (DVCC), four-MOS transistors switch and two-MOS transistors inverter. The advantage of this proposed circuit is high-input and low-output impedance and is able to connect with any load without buffer and the number of transistor is quite less which is suitable for integrated circuits. The technique is to control the switch by using the square pulse which is obtained from direct signal generator. All simulation results are base on the PSPICE program simulator which confirms the performance of the proposed circuit and technique.

**Key words:** Chopper modulator, Cowan modulator, Ring modulator, Amplitude modulator, DVCC

### 1. บทนำ

วงจรถ้อแอมพลิจูดมอดูเลเตอร์คือการมอดูเลตที่ใช้ขนาดของสัญญาณข่าวสารเพื่อทำให้แอมพลิจูดของสัญญาณเอกสารนี้เป็นเอกสารที่ส่งวนเวสสำหรับการใช้งานเพื่อการศึกษาเท่านั้น ไม่อนุญาตให้นำไปใช้ประโยชน์ด้านการค้าไม่ว่ากรณีใดๆ ทั้งสิ้น อีกทั้งห้ามมิให้ดัดแปลงเนื้อหา และต้องอ้างอิงถึงเจ้าของเอกสารทุกครั้งที่มีการนำไปใช้

คลื่นพาห้เปลี่ยนแปลงไปตามขนาดของสัญญาณข่าวสาร การมอดูเลตทางแอมพลิจูด (Amplitude Modulation: AM) การมอดูเลตแบบแถบความถี่ข้างคู่ที่ขจัดสัญญาณคลื่น

พาห์ (Double Side Band Suppress Carrier: DSB-SC) และการมอดูเลตแบบแถบความถี่ข้างเดียว (Single Side Band: SSB) คือสามรูปแบบมาตรฐานการมอดูเลตทางแอมพลิจูดที่ใช้สัญญาณซายน์เป็นคลื่นพาห์ [1] นอกจากคลื่นพาห์ที่ใช้สัญญาณซายน์แล้ว สัญญาณรูปคลื่นสี่เหลี่ยมสามารถใช้เป็นคลื่นพาห์ได้เช่นกัน โดยเรียกการมอดูเลตแบบนี้ว่าช็อพเปอร์มอดูเลเตอร์ [1] โดยทั่วไปวงจรช็อพเปอร์มอดูเลเตอร์สามารถแบ่งได้เป็นวงจรจริงมอดูเลเตอร์และโควาน (Cowan) มอดูเลเตอร์ที่ใช้ใช้ไดโอดและหม้อแปลงเป็นส่วนประกอบ ดังนั้นจึงไม่เหมาะกับการนำไปสร้างเป็นวงจรรวม

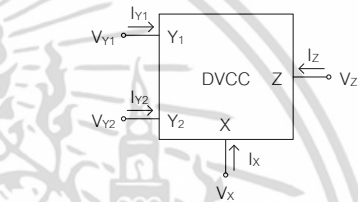
เมื่อเร็วๆ นี้วงจรช็อพเปอร์มอดูเลเตอร์ที่เหมาะสมกับการนำไปสร้างเป็นวงจรรวมได้ถูกนำเสนอใน [2] วงจรสร้างขึ้นจากวงจรสายพานกระแสสองวงจร ตัวต้านทานแบบมอสสามวงจรและวงจรกลับเฟสสัญญาณหนึ่งวงจร

บทความนี้แนะนำวงจรช็อพเปอร์มอดูเลเตอร์ที่สร้างจากวงจรสายพานกระแสแบบแรงดันอินพุตแตกต่างกันหนึ่งวงจร มอสที่ทำงานเป็นสวิทช์เดี่ยวและวงจรอินเวอร์เตอร์หนึ่งวงจร เมื่อเปรียบเทียบกับวงจรช็อพเปอร์มอดูเลเตอร์ที่นำเสนอใน [2] วงจรที่นำเสนอมีข้อดีกว่าดังนี้

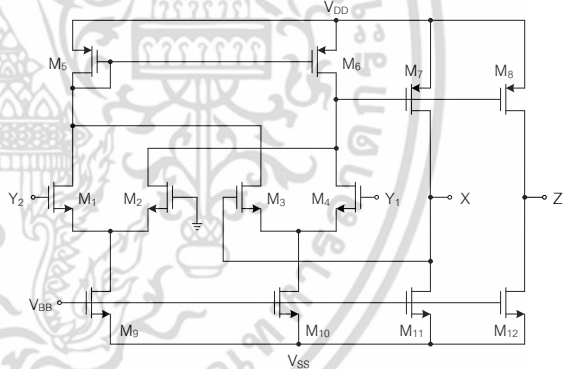
- (1) วงจรที่นำเสนอใช้วงจรสายพานกระแสหนึ่งวงจร มอสเดี่ยวและวงจรอินเวอร์เตอร์หนึ่งวงจร (ใช้มอสทั้งหมด 18 ตัว) ในขณะที่วงจรใน [2] ใช้วงจรสายพานกระแสสองวงจร ตัวต้านทานแบบมอสสามวงจรและวงจรกลับเฟสสัญญาณหนึ่งวงจร (ใช้มอสทั้งหมด 43 ตัว) ดังนั้นวงจรที่นำเสนอจึงเหมาะกับการนำไปสร้างเป็นวงจรรวมมากกว่าวงจรที่นำเสนอใน [2]
- (2) วงจรที่นำเสนอใน [2] ใช้สัญญาณรูปคลื่นสี่เหลี่ยมที่อยู่ในรูปของกระแสเป็นคลื่นพาห์ ซึ่งโอดย ที่ ว ไป สัญญาณรูปคลื่นสี่เหลี่ยมที่กำเนิดได้จากวงจรกำเนิดสัญญาณจะอยู่ในรูปแรงดันเสียเป็นส่วนมาก [3]-[5] ดังนั้นวงจรมอดูเลเตอร์ใน [2] อาจจะต้องใช้วงจรแปลงสัญญาณแรงดันเป็นกระแสเพื่อเปลี่ยนสัญญาณแรงดันจากวงจรกำเนิดสัญญาณ

เป็นกระแสเพื่อควบคุมวงจรรายพานกระแส นั้นหมายถึงอาจจะต้องใช้มอสมากกว่า 43 ตัว ในขณะที่วงจรที่นำเสนอใช้สัญญาณรูปคลื่นสี่เหลี่ยมที่อยู่ในรูปแรงดันเป็นคลื่นพาห์ เพื่อควบคุมสวิตช์ โดยตรง ดังนั้นวงจรที่นำเสนอจึงมีความง่ายกว่า

- (3) วงจรที่นำเสนอใน [2] เหมาะกับโหลดที่มีค่าอิมพีแดนซ์สูง ดังนั้นถ้าโหลดที่มีอิมพีแดนซ์ต่ำมาต่อใช้งาน วงจรจะต้องการวงจรรบัฟเฟอร์ ในขณะที่วงจรที่นำเสนอสามารถต่อกับโหลดค่าต่างๆ ได้โดยไม่ต้องการวงจรรบัฟเฟอร์ใดๆ



รูปที่ 1 สัญลักษณ์ทางไฟฟ้าวงจร DVCC

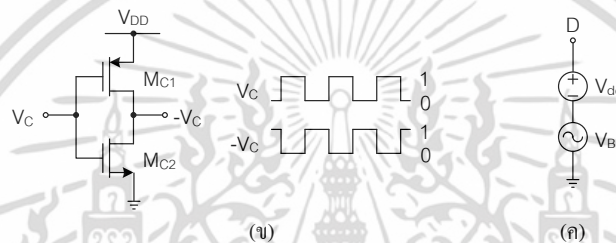
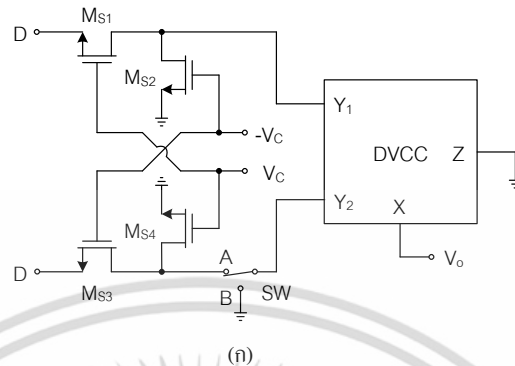


รูปที่ 2 วงจร DVCC ที่สร้างจากมอสทรานซิสเตอร์

## 2. วงจรที่นำเสนอ

สัญลักษณ์ของวงจรรายพานกระแสชนิดแรงดันอินพุตแตกต่าง (Differential Voltage Current Conveyor: DVCC) สามารถแสดงในรูปที่ 1 ซึ่งเป็นวงจรที่นำเสนอใน [6] โดยมีคุณสมบัติมีแบนด์วิดท์กว้าง มีความเป็นเชิงเส้นสูงและมีช่วงปฏิบัติการทางอินพุตกว้าง [6] ค่าความถ่วงพัวทางไฟฟ้าขั้วต่างๆ ของวงจรสามารถแสดงได้คือ

$$\begin{pmatrix} V_X \\ I_{Y1} \\ I_{Y2} \\ I_Z \end{pmatrix} = \begin{pmatrix} 1 & -1 & 0 \\ 0 & 0 & 0 \\ 0 & 0 & 0 \\ 0 & 0 & 1 \end{pmatrix} \begin{pmatrix} V_{Y1} \\ V_{Y2} \\ I_X \end{pmatrix} \quad (1)$$



รูปที่ 3 (ก) วงจรซีพเปอร์มอดูเลเตอร์ที่นำเสนอ (ข) วงจรอินเวอร์เตอร์ (ค) การขจัดระดับสัญญาณด้วยแรงดัน DC

วงจร DVCC เป็นวงจรที่มีอินพุตแรงดันสองอินพุตคือ ขั้ว Y<sub>1</sub> และ Y<sub>2</sub> โดยแต่ละอินพุตจะมีอิมพีแดนซ์สูง ส่วนที่ขั้ว X เป็นเอาต์พุตแรงดันที่มีอิมพีแดนซ์ต่ำที่สามารถกำหนดได้คือ  $V_X = V_{Y1} - V_{Y2}$  ในขณะเดียวกันถ้าป้อนกระแสเข้าที่ขั้ว X ของวงจร DVCC จะได้กระแสที่ขั้ว Z เท่ากับกระแสที่ขั้ว X ( $I_Z = I_X$ ) รูปที่ 2 แสดงวงจร DVCC ที่สร้างจากมอดูลทรานซิสเตอร์

วงจรซีพเปอร์มอดูเลเตอร์ที่นำเสนอแสดงได้ดังรูปที่ 3(ก) วงจรประกอบด้วยวงจรวงจร DVCC หนึ่งวงจร มอดูลที่ทำงานเป็นสวิตช์สี่ตัว ( $M_{S1} - M_{S4}$ ) และวงจรอินเวอร์เตอร์หนึ่งวงจร (รูปที่ 3(ข)) โควานมอดูเลเตอร์ รังมอดูเลเตอร์ และแอมพลิฟายมอดูเลเตอร์สามารถเลือกได้ด้วยสวิตช์ SW และแรงดัน  $V_{DC}$  สัญญาณเอาต์พุตของวงจรอินเวอร์เตอร์ จะมีเฟสต่างจากอินพุต 180 องศา สัญญาณนี้จะใช้ควบคุมให้สวิตช์  $M_{S1} - M_{S4}$  นำกระแสและหยุดนำกระแส วงจรมอดูเลเตอร์จะทำงานเป็นโควานซีพเปอร์มอดูเลเตอร์เมื่อสวิตช์ SW อยู่ในตำแหน่ง B และ  $V_{DC} = 0$  (ไม่ใช้) สัญญาณอินพุต  $V_B$  จะถูกป้อนเข้าสู่อินพุต Y<sub>1</sub> ของวงจร

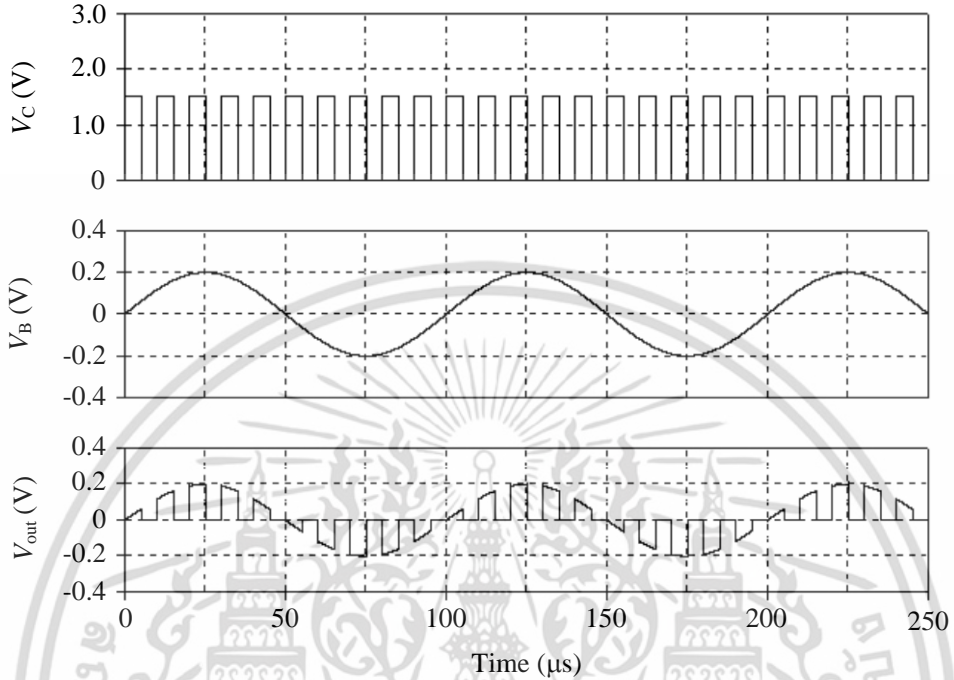
DVCC ตามช่วงจังหวะความถี่ของคลื่นพาห์รูปคลื่นสี่เหลี่ยม  $V_C$  ที่ใช้ควบคุมมอดสวิตช์  $M_{S1}$  และ  $M_{S2}$  ซึ่งมอดสทั้งสองจะทำงานและหยุดทำงานสลับกัน

เอาต์พุตแบบริงสามารถกำหนดได้เมื่อสวิตช์ SW ถูกเลือกอยู่ในตำแหน่ง A และ  $V_{DC} = 0$  (ไม่ใช้) สัญญาณอินพุต  $V_B$  จะถูกป้อนเข้าสู่อินพุต Y<sub>1</sub> และ Y<sub>2</sub> ของวงจร DVCC ตามจังหวะความถี่ของคลื่นพาห์  $V_C$  ที่ใช้ควบคุมมอดสวิตช์  $M_{S1}$  ถึง  $M_{S4}$  กลุ่มมอด  $M_{S2} - M_{S3}$  และ  $M_{S1} - M_{S4}$  จะทำงานและหยุดทำงานสลับกัน โดยมอดสวิตช์  $M_{S2}$  และ  $M_{S4}$  จะทำหน้าที่รีเซ็ตสัญญาณที่ขั้ว Y<sub>1</sub> และ Y<sub>2</sub> จากสมการที่ (1) เอาต์พุตแรงดันของวงจรจึงสามารถสวิงได้ทั้งซิกบวกและลบซึ่งเป็นเอาต์พุตของริงซีพเปอร์มอดูเลเตอร์ ส่วนแอมพลิฟายมอดูเลเตอร์สามารถกำหนดได้โดยเลือก สวิตช์ SW อยู่ในตำแหน่ง A และ  $V_{DC} = DC$  (ใช้) สัญญาณอินพุต  $V_B$  จะถูกป้อนเข้าสู่อินพุต Y<sub>1</sub> และ Y<sub>2</sub> ของวงจร DVCC ตามจังหวะความถี่ของคลื่นพาห์  $V_C$  ที่ใช้ควบคุมมอดสวิตช์  $M_{S1}$  ถึง  $M_{S4}$  ในกรณีนี้สัญญาณขาออก  $V_o$  จะถูกขจัดด้วยแรงดัน  $V_{DC}$  ซึ่งค่าแรงดัน  $V_{DC}$  นี้จะใช้สำหรับควบคุมค่าดัชนีการมอดูเลต กลุ่มมอด

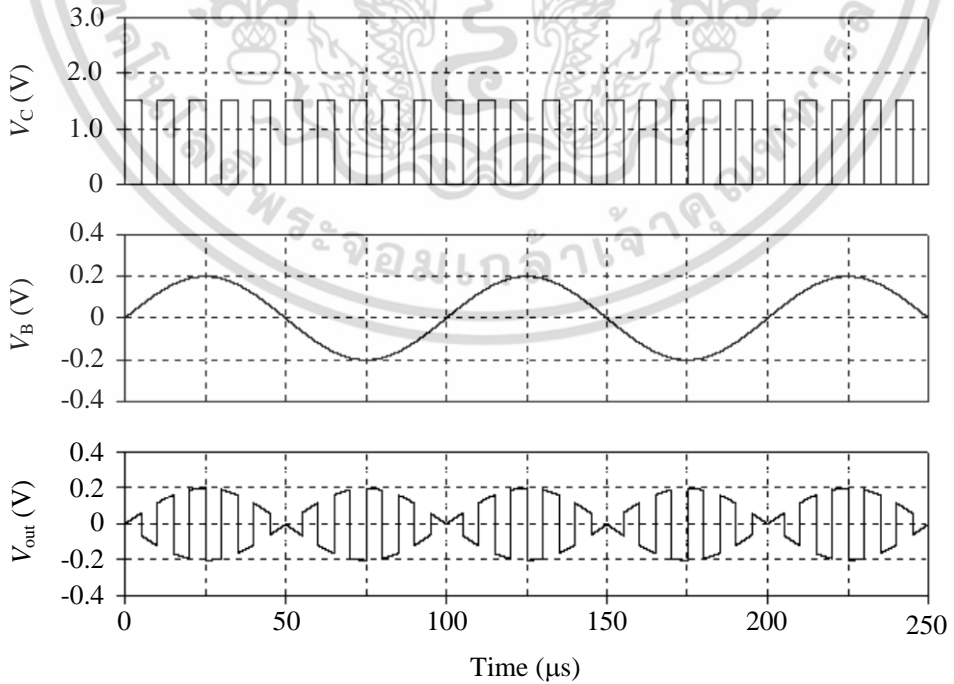
เอกสารนี้เป็นเอกสารที่สงวนไว้สำหรับการใช้งานเพื่อการศึกษาเท่านั้น ไม่อนุญาตให้นำไปใช้ประโยชน์ด้านการค้า ไม่ว่ากรณีใดๆ ทั้งสิ้น อีกทั้งห้ามมิให้ดัดแปลงเนื้อหา และต้องอ้างอิงถึงเจ้าของเอกสารทุกครั้งที่มีการนำไปใช้

สวิตช์  $M_{S2}$ - $M_{S3}$  และ  $M_{S1}$ - $M_{S4}$  จะทำงานและหยุดทำงาน สลับกันตามจังหวะความถี่ของรูปคลื่นสี่เหลี่ยม แรงดัน  $V_C$  และ  $-V_C$  จะทำให้มอสวิตช์  $M_{S1}$  และ  $M_{S3}$  ทำงาน และหยุดทำงานสลับกัน จากสมการที่ (1) สัญญาณ

เอาท์พุทที่ได้คือการมอดูเลตทางแอมพลิจูดนั่นเอง การใช้ งานวงจรซีพเปอร์ มอดูเลเตอร์สามารถสรุปได้ดังตารางที่ 1

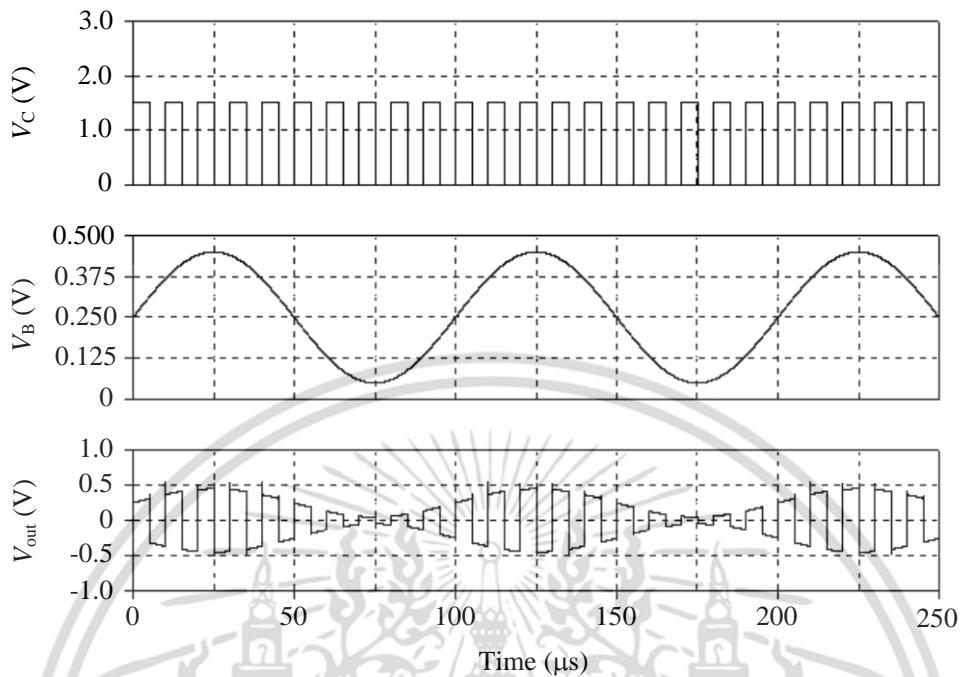


รูปที่ 4 การทำงานของโคแวนซีพเปอร์มอดูเลเตอร์ที่นำเสนอ



เอกสารนี้เป็นเอกสารที่สงวนไว้สำหรับการใช้งานเพื่อการศึกษาเท่านั้น ไม่อนุญาตให้นำไปใช้ประโยชน์ด้านการค้า ไม่ว่าจะกรณีใดๆ ทั้งสิ้น อีกทั้งห้ามมิให้ดัดแปลงเนื้อหา และต้องอ้างอิงถึงเจ้าของเอกสารทุกครั้งที่มีการนำไปใช้

รูปที่ 5 การทำงานของริงช้อพเปอร์มอดูเลเตอร์ที่นำเสนอ



รูปที่ 6 การทำงานของแอมพลิฟายเออร์มอดูเลเตอร์ที่นำเสนอ

เพื่อไม่ให้เกิดปัญหาโอเวอร์มอดูเลชัน ในกรณีนี้ค่าแรงดัน  $V_{DC}$  จะต้องมีค่ามากกว่าขนาดสัญญาณ  $V_{B(peak)}$  จากการจำลองการทำงานช่วงปฏิบัติการของวงจรมอดูเลเตอร์ที่นำเสนอมีค่าประมาณ  $-500\text{mV}$  ถึง  $500\text{mV}$  ที่แหล่งจ่ายแรงดัน  $\pm 2\text{V}$  ดังนั้นถ้าป้อนสัญญาณ  $V_B$  เท่ากับ  $200\text{mV}_{peak}$  แรงดัน  $V_{DC}$  จะต้องมีค่ามากกว่า  $200\text{mV}$  จากวงจรมอดูเลเตอร์ที่แสดงในรูปที่ 3 จะเห็นได้ว่าเอาต์พุตของวงจรสามารถต่อกับโหลดค่าต่างๆ ได้โดยตรงโดยไม่ต้องการวางจรรยาบรรณใดๆ

ตารางที่ 1 การใช้งานวงจรริงช้อพเปอร์มอดูเลเตอร์

ช้อพเปอร์เอาต์พุต	ตำแหน่งสวิทช์	$V_{DC}$
โคแวนมอดูเลเตอร์	B	ไม่ใช่
ริงมอดูเลเตอร์	A	ไม่ใช่
แอมพลิฟายเออร์มอดูเลเตอร์	A	ใช่

### 3. ผลการจำลองการทำงาน

เอกสารนี้เป็นเอกสารที่สงวนไว้สำหรับการใช้งานเพื่อการศึกษาเท่านั้น ไม่อนุญาตให้นำไปใช้ประโยชน์ด้านการค้า ไม่ว่าจะกรณีใดๆ ทั้งสิ้น อีกทั้งห้ามมิให้ดัดแปลงเนื้อหา และต้องอ้างอิงถึงเจ้าของเอกสารทุกครั้งที่มีการนำไปใช้

วงจรริงช้อพเปอร์มอดูเลเตอร์ที่นำเสนอในรูปที่ 3 จะถูกจำลองการทำงานด้วยโปรแกรม PSPICE การจำลองได้ใช้พารามิเตอร์  $0.5\mu\text{m}$  จาก MIETEC [7] วงจรใช้แหล่งจ่ายแรงดัน  $\pm 2\text{V}$  วงจร DVCC ในรูปที่ 2 กำหนดค่า W/L ของมอสทรานซิสเตอร์ตาม [8]  $M_{S1}-M_{S4}$  เท่ากับ  $2\mu\text{m}/2\mu\text{m}$  และแรงดันไบอัส  $V_{BB}$  เท่ากับ  $-1.2\text{V}$  สัญญาณรูปคลื่นสี่เหลี่ยมกำหนดค่าสูงสุดเท่ากับ  $1.5\text{V}$  ค่าต่ำสุดเท่ากับ  $0\text{V}$

รูปที่ 4 แสดงการทำงานของโคแวนช้อพเปอร์มอดูเลเตอร์ เมื่อสัญญาณ  $V_B$  เป็นสัญญาณรูปคลื่นซายน์ความถี่  $10\text{kHz}$  แอมพลิฟายเออร์  $200\text{mV}_{peak}$  และ  $V_C$  เป็นสัญญาณรูปคลื่นสี่เหลี่ยมความถี่  $100\text{kHz}$  ในกรณีนี้สวิทช์ถูกเลือกไว้ที่ตำแหน่ง B และ  $V_{DC}$  เท่ากับ  $0\text{V}$  รูปที่ 5 แสดงการทำงานของริงมอดูเลเตอร์ เมื่อสวิทช์ถูกเลือกไว้ที่ตำแหน่ง A ส่วน  $V_{DC}$  เท่ากับ  $0\text{V}$  ส่วนรูปที่ 6 แสดงการทำงานของแอมพลิฟายเออร์มอดูเลเตอร์ ในกรณีนี้สวิทช์ถูกเลือกไว้ที่ตำแหน่ง A และแรงดัน  $V_{DC}$  เท่ากับ  $0.25\text{V}$  ถูกใช้เพื่อ

ยกระดับสัญญาณและกำหนดค่าดัชนีการมอดูเลต ในทาง

ปฏิบัติแรงดันไฟฟ้ากระแสตรง  $V_{DC}$  อาจจะเป็นแหล่งจ่ายอิสระจากภายนอก ดังนั้นการยกระดับสัญญาณจึงสามารถทำได้โดยต่อแหล่งจ่ายสัญญาณ  $V_B$  อนุกรมกับแรงดัน

$V_{DC}$  (รูปที่ 3(ค)) แล้วจึงป้อนให้กับอินพุตที่โนด D ของวงจร

ตารางที่ 2 การเปรียบเทียบคุณสมบัติของวงจรที่นำเสนอกับวงจรในวารสารต่างๆ

พารามิเตอร์	วงจรที่นำเสนอ	วงจรใน [1]	วงจรใน [2]
อุปกรณ์ส่วนประกอบ	วงจร DVCC 1 วงจร มอสสวิทช์ 4 ตัว วงจรอินเวอร์เตอร์ 1 วงจร (ใช้มอสทั้งหมด 18 ตัว และ แหล่งจ่ายแรงดัน 2 แหล่งจ่าย)	หม้อแปลง 1 ตัว ไดโอด 4 ตัว	วงจร CCII 2 ตัว ตัวต้านทานแบบมอส 3 ตัว วงจรกลับเฟสสัญญาณ 1 วงจร (ใช้มอสทั้งหมด 43 ตัว และ แหล่งจ่ายกระแส 2 แหล่งจ่าย)
แหล่งจ่ายแรงดัน	$\pm 2V$	-	+1.5V
ช่วงอินพุตปฏิบัติงาน	$\pm 0.5V$	-	$\pm 0.3V$
การใช้กำลังงาน	2mW		0.8mW
เหมาะกับการสร้าง IC	ใช่	ไม่ใช่	ใช่

#### 4. สรุป

บทความนี้นำเสนอวงจรโคแวนซ์ฟลิปเฟอร์มอสคูเลเตอร์ริงช็อพเฟอร์มอสคูเลเตอร์และแอมพลิฟายเออร์มอสคูเลเตอร์ วงจรที่นำเสนอใช้วงจรสายพานกระแสชนิดแรงดันอินพุตแตกต่างกันี่วงจร มอสที่ทำงานเป็นสวิทช์สี่ตัวและวงจรอินเวอร์เตอร์ที่สร้างจากมอสสองตัวหนึ่งวงจรเมื่อเปรียบเทียบกับวงจรช็อพเฟอร์มอสคูเลเตอร์ที่เคยนำเสนอไว้ก่อนหน้านี้ วงจรที่นำเสนอเหมาะกับการนำไปสร้างเป็นวงจรรวมมากกว่าวงจรใน [1] และถ้าเปรียบเทียบกับวงจรช็อพเฟอร์มอสคูเลเตอร์ที่นำเสนอใน [2] วงจรที่นำเสนอใช้อุปกรณ์น้อยกว่า คลื่นพาห้เป็นแรงดันซึ่งง่ายต่อการใช้งานมากกว่า สัญญาณเอาต์พุตของวงจรที่นำเสนอสามารถต่อใช้งานกับโหมดค่าต่างๆ ได้โดยไม่ต้องการวงจรบัฟเฟอร์ใดๆ คุณสมบัติโดยสรุปเมื่อเปรียบเทียบกับวงจรที่เคยนำเสนอก่อนหน้านี้แสดงได้ดังตารางที่ 2

#### 5. เอกสารอ้างอิง

[1] J. E. Pearson, Basic communication theory, UK: Prentice Hall, 1992.

[2] A. Monpappasorn, "Chopper modulators using current conveyor analogue switches," Analog Intergrated Circuits and Signal Processing, Vol. 45, pp. 155-162, 2005.

[3] M. T. Abuelma'Atti and M. Al-Shahrani, "New CFOA-based triangular/square wave generator," International Journal of Electronics, Vol. <http://www.informaworld.com/smpp/title~content=t713599654~db=all~tab=issueslist~branches=84-v8484>, pp. 583-588, 1998.

[4] M. T. Abuelma'atti and M. K. Alabsi, "A low-cost dual-slope triangular/square wave generator," International Journal of Electronics, Vol. <http://www.informaworld.com/smpp/title~content=t713599654~db=all~tab=issueslist~branches=84-v8491>, pp. 185-190, 2004.

[5] W.-S. Chung, H. Kim, H.-W. Cha, and H.-J. Kim, "Triangular/square-wave generator with independently controllable frequency and amplitude," IEEE Transactions on Instrumentation and Measurement, Vol. 54, pp. 105-109, 2005.

[6] H. O. Elwan and A. M. Soliman, "Novel CMOS differential voltage current conveyor and its applications," IEE Proceeding of Circuits Devices and System, Vol. 144, pp. 195-200, 1997.

[7] M. Kumngern and K. Dejhan, "High frequency and high precision CMOS full-wave rectifier,"

เอกสารนี้เป็นเอกสารที่สงวนไว้สำหรับการใช้งานเพื่อการศึกษาเท่านั้น ไม่ควรเผยแพร่ในที่สาธารณะโดยไม่ได้รับอนุญาตจากเจ้าของเอกสารทุกครั้งที่มีการนำไปใช้

International Journal of Electronics, Vol. 93, pp. 185-199, 2006.

- [8] S. Minaei and M. A. Ibrahim, "General configuration for realizing current-mode first-order all-pass filter using DVCC," International Journal of Electronics, Vol. 92, pp. 347-356, 2005.



เอกสารนี้เป็นเอกสารที่สงวนไว้สำหรับการใช้งานเพื่อการศึกษาเท่านั้น ไม่อนุญาตให้นำไปใช้ประโยชน์ด้านการค้า  
ไม่ว่ากรณีใดๆ ทั้งสิ้น อีกทั้งห้ามมิให้ดัดแปลงเนื้อหา และต้องอ้างอิงถึงเจ้าของเอกสารทุกครั้งที่มีการนำไปใช้